

# О ПОЛНОМ РАЗВАЛЕ АЛЬФА-ЧАСТИЦЫ В РЕЗУЛЬТАТЕ СТОЛКНОВЕНИЯ С НУКЛОНом

Г. Ф. Филиппов<sup>1</sup>, А. М. Сычева<sup>2</sup>, С. В. Кореннов<sup>1,3</sup>, К. Като<sup>3</sup>

<sup>1</sup> Институт теоретической физики им. Н. Н. Боголюбова, Киев

<sup>2</sup> Киевский национальный университет имени Тараса Шевченко

<sup>3</sup> Университет Хоккайдо, Саппоро, Япония

В рамках метода молекулярной динамики рассмотрено рассеяние нуклона на  $\alpha$ -частице с учетом возможности полного развала последней. При этом пробная функция выбрана так, что оказывается возможным трактовать возбуждение коллективной монопольной моды  $\alpha$ -кластера и его распад. Определена зависимость энергии, передаваемой мишени в результате столкновения, от энергии и прицельного параметра налетающей частицы. Произведена оценка сечения полного развала  $\alpha$ -кластера нуклоном и времени протекания этой реакции.

В работе изучалось неупругое рассеяние нуклона на  $\alpha$ -частице, сопровождающееся возможным полным развалом последней. При этом авторы хотели ответить на вопросы:

какую часть энергии нуклон может передать мишени;

при каких значениях энергии налетающего нуклона происходит полный развал  $\alpha$ -частицы на четыре нуклона;

какое сечение этого процесса;

за какое время происходит полный развал  $\alpha$ -кластера.

Конечно, решение поставленной задачи доступно точными квантово-механическими методами. Тем не менее реально оценить результаты можно более простым и элегантным методом, использующим представления классической механики. Был применен метод, известный под названием молекулярной механики [1].

Исходным пунктом в этом случае являются построение волновых функций в виде волновых пакетов  $\alpha$ -частицы и нуклона и выбор подходящего потенциала взаимодействия. Затем с помощью стандартной вариационной процедуры переходят к уравнениям гамильтонового типа для параметров волновых пакетов. В результате решения этих уравнений, которое достаточно доступно, получают зависимость параметров волновых пакетов от времени. Из этих зависимостей рассчитывают интересующие характеристики.

В представленной работе волновой пакет  $\alpha$ -частицы выбран таким образом, что он допускает возбуждение коллективной монопольной моды и полный развал кластера, тогда как волновой пакет нуклона имеет фиксированный размер и содержит только поступательные степени свободы. Чтобы обеспечить связанное состояние  $\alpha$ -частицы был использован притягивающий гауссовый потенциал, воспроизводящий энергию связи  ${}^4\text{He}$ . А в качестве потенциала взаимодействия внешнего налетающего нуклона с нуклонами  $\alpha$ -частицы, чтобы учесть действие принципа Паули, запрещающего тесное сближение внешнего нуклона с нуклонами  $\alpha$ -частицы и следуя известному подходу [5], был выбран потенциал, обеспечивающий притяжение только на больших расстояниях и такое отталкивание на малых расстояниях, которое моделирует принцип Паули. Волновая функция ядра  ${}^4\text{He}$  в состоянии с полным угловым моментом  $L = 0$  и минимальным числом квантов, включая энергию нулевых колебаний, равным  $J = 9/2$ , является производящей функцией базиса гармонического осциллятора, предназначенного для описания дыхательной моды [2]:

$$\psi(\rho) = \frac{1}{(1-\varepsilon)^2} \exp \left\{ -\frac{1+\varepsilon}{1-\varepsilon} \frac{\rho^2}{2} \right\}, \quad \varepsilon = x + iy. \quad (1)$$

$$\psi(\rho) = \sum \epsilon^n L_n^{1/2}(\rho^2) \exp\left(-\frac{\rho^2}{2}\right). \quad (2)$$

Здесь  $\rho^2 = r_1^2 + r_2^2 + r_3^2 + r_4^2$  – квадрат гипер-радиуса, равный сумме квадратов радиус-векторов нуклонов, отвечающих нуклонам  $\alpha$ -частицы,  $x$  отвечает за гипер-радиус  $\alpha$ -частицы в фазовом пространстве, а  $y$  – за скорость ее раздувания или сжатия.

Волновая функция нуклона выбрана в виде орбитали Бринка по аналогии с [3, 4]

$$\phi(\vec{r}) = \frac{1}{\sqrt[4]{\pi^3}} \exp\left\{-\frac{\vec{r}^2}{2} + \sqrt{2}(\vec{R}\vec{r}) - \frac{\vec{R}^2}{2}\right\}, \quad \vec{R} = \frac{1}{\sqrt{2}}(\vec{\xi} + i\vec{\eta}), \quad (3)$$

где  $\vec{r}$  – радиус-вектор нуклона,  $\vec{\xi}$  является радиус-вектором центра волнового пакета налетающего нуклона, а  $\vec{\eta}$  – скоростью волнового пакета.

Потенциал взаимодействия нуклонов  $\alpha$ -частицы

$$V(r) = V_0 \exp\left\{-\frac{r^2}{b_0^2}\right\},$$

где значение  $b_0 = 1,27$  фм соответствует радиусу потенциала притяжения Волкова, а величины  $V_0 = -67,8$  МэВ и осцилляторный радиус  $r_0 = 1,31$  фм оптимизированы таким образом, что энергия связи  $\alpha$ -частицы равна  $E_\alpha = -28,56$  МэВ. Основное состояние реализуется при  $\epsilon = \epsilon_\alpha = x_\alpha + iy_\alpha = -0,96 + i \cdot 0$  ( $\epsilon$  определено соотношением (1)), что соответствует гипер-радиусу пакета  $\alpha$ -частицы  $r_\alpha = 1,02$  фм. (Под гипер-радиусом волнового пакета здесь подразумевается величина  $\sqrt{J(1-x_\alpha)/(1+x_\alpha)/2}$ . Напомним, что  $J = 9/2$  – минимальное число квантов  $\alpha$ -частицы, включая кванты нулевых колебаний.) Потенциал взаимодействия нуклонов  $\alpha$ -частицы с внешним налетающим нуклоном

$$V(r_i) = V_1 \sum_{i=-1}^4 \exp\left\{-\frac{(\vec{r}_i - \vec{r}_n)^2}{b_1^2}\right\} + V_2 \sum_{i=-1}^4 \exp\left\{-\frac{(\vec{r}_i - \vec{r}_n)^2}{b_2^2}\right\},$$

где  $V_1 = -83,34$  МэВ и  $b_1 = 1,6$  фм – параметры потенциала, отвечающего за дальнодействующее притяжение, а  $V_2 = 484,86$  МэВ и  $b_2 = 0,82$  фм – параметры потенциала, введенного для учета отталкивания на малых расстояниях, что моделирует принцип Паули, как в работе [5].

После применения вариационного принципа [6] приходим к четырем связанным классическим уравнениям. Два из них описывают состояние  $\alpha$ -частицы, ее размер и скорость раздувания или сжатия, в зависимости от расстояния до нуклона:

$$\begin{aligned} i\dot{x} - y &= \frac{1}{2} [(1+x)^2 - y^2 + i2(1+x)y] - \\ &- 18 \frac{V_0}{b_0^2} [(1-x)^2 - y^2 + i2(1-x)y] \left[1 + \frac{2}{b_0^2} \frac{(1-x)^2 + y^2}{1-x^2 - y^2}\right]^{-5/2} - \\ &- \sum \frac{4V_i}{b_i^2} [(1-x)^2 - y^2 + i2(1-x)y] \left[1 + \frac{2}{b_i^2} \frac{1-x}{1-x^2 - y^2}\right]^{-5/2} \times \end{aligned}$$

$$\times \left\{ \frac{3}{2} - \xi^2 \left[ 1 + \frac{2}{b_0^2} \frac{1-x}{1-x^2-y^2} \right]^{-1} \right\} \exp \left\{ - \frac{\xi^2}{b_i^2} \left[ 1 + \frac{2}{b_0^2} \frac{1-x}{1-x^2-y^2} \right]^{-1} \right\}. \quad (4)$$

Другие два уравнения определяет относительное движение  $\alpha$ -кластера и нуклона

$$i \dot{\xi} - \bar{\eta} = i\{\bar{\eta}\} + \sum_{i=1}^2 \frac{8V_i}{b_i^2} \bar{\xi} \left[ 1 + \frac{2}{b_0^2} \frac{1-x}{1-x^2-y^2} \right]^{-5/2} \exp \left\{ - \frac{\xi^2}{b_i^2} \left[ 1 + \frac{2}{b_0^2} \frac{1-x}{1-x^2-y^2} \right]^{-1} \right\}. \quad (5)$$

Уравнения (4) – (5) записаны в системе отсчета, где  $\alpha$ -частица покоятся. При решении этой системы уравнений с начальными условиями, соответствующими  $\alpha$ -частице в основном состоянии ( $\varepsilon = x_\alpha = -0,96$ ) и нуклону, находящемуся на расстоянии  $\xi_n \rightarrow \infty$  с начальной энергией  $E_n$  и прицельным параметром  $s_n$ , были получены функции  $\xi(t)$  и  $\eta(t)$ , определяющие относительное движение нуклона и функции  $x(t)$ ,  $y(t)$ , определяющие состояние  $\alpha$ -частицы. Функции  $\xi(t)$ ,  $\eta(t)$ ,  $x(t)$  и  $y(t)$  определяют также фазовые траектории. На рис. 1 представлены фазовые траектории, отвечающие соответственно возбуждению  $\alpha$ -частицы и ее распаду. Фазовые траектории для движения внешнего нейтрона представлены на рис. 2: нейтрон пролетает (a) или отражается (b).

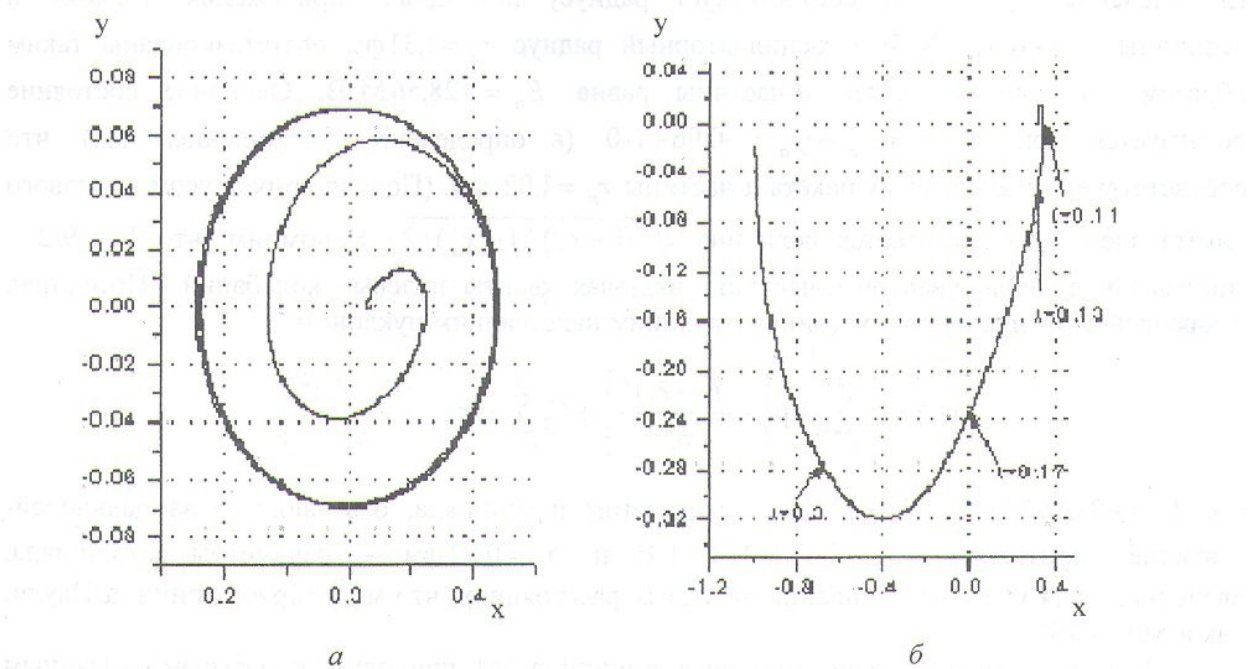


Рис. 1. Фазовые траектории дыхательной моды волнового пакета  $\alpha$ -частицы при лобовом столкновении с нуклоном: а –  $\alpha$ -частица переходит из основного состояния  $E_\alpha = -28$  МэВ в возбужденное  $E_\alpha = -24$  МэВ, начальная энергия нейтрона до столкновения  $E_n = 70$  МэВ; б –  $\alpha$ -частица распадается, энергия нейтрона до столкновения  $E_n = 110$  МэВ;  $x$ ,  $y$  – обобщенные координата и скорость фазового пространства дыхательной моды.

По решениям уравнений (4) и (5) можно подсчитать сечение рассеяния нуклона на  $\alpha$ -частице при фиксированной энергии налетающего нуклона, найти энергию  $\alpha$ -частицы после столкновения как функцию энергии налетающего нуклона при фиксированном прицельном параметре или как функцию прицельного параметра при фиксированной энергии налетающего нуклона и рассчитать сечение полного разрыва  $\alpha$ -частицы на четыре нуклона.

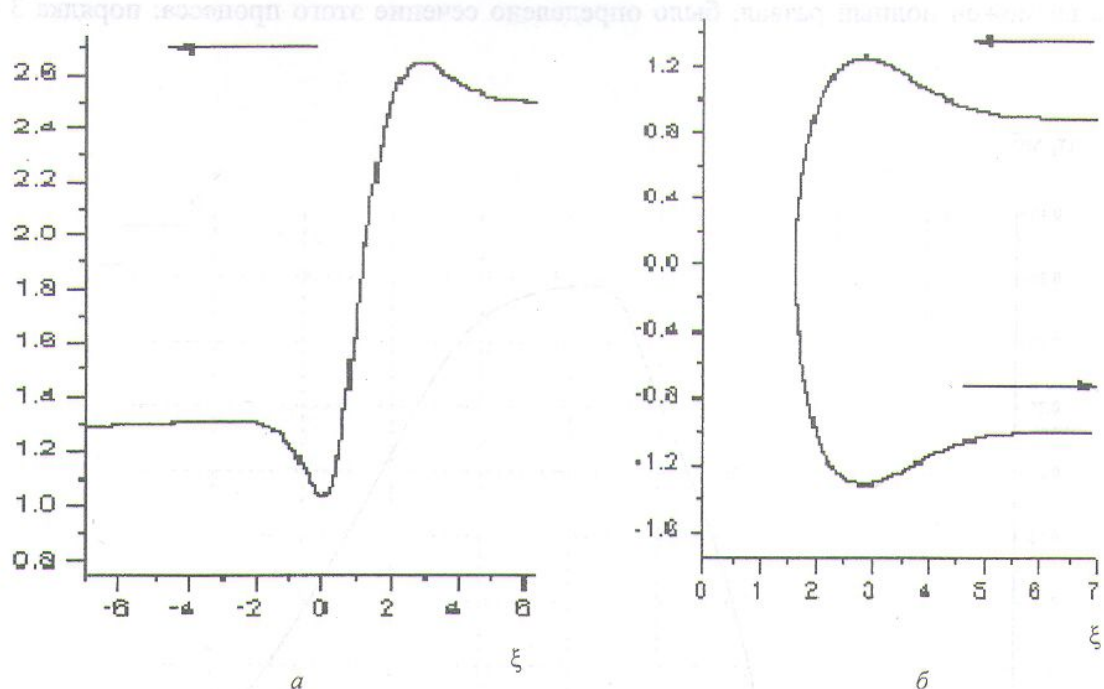


Рис. 2. Фазовые траектории волнового пакета нуклона при лобовом столкновении с мишенью:  
а – нуклон пролетает сквозь  $\alpha$ -частицу; б – нуклон отражается от  $\alpha$ -частицы;  $\xi$ ,  $\eta$  – обобщенные координата и скорость нуклона.

Результат расчета состоит в том, что процесс рассеяния нуклона на  $\alpha$ -частице оказывается неупругим – нуклон передает часть энергии  $\alpha$ -частице, после чего она либо переходит в возбужденное состояние, либо распадается (рис. 3). Если энергия налетающего нуклона попадает в энергетический диапазон от 69 до 221 МэВ в лабораторной системе, то открывается канал полного развала  $\alpha$ -частицы на четыре нуклона. При лобовом столкновении  $\alpha$ -частица не может получить энергию, превышающую 31,6 МэВ над порогом развала, и тогда нуклоны  $\alpha$ -частицы разлетаются изотропно в системе их центра масс. Это

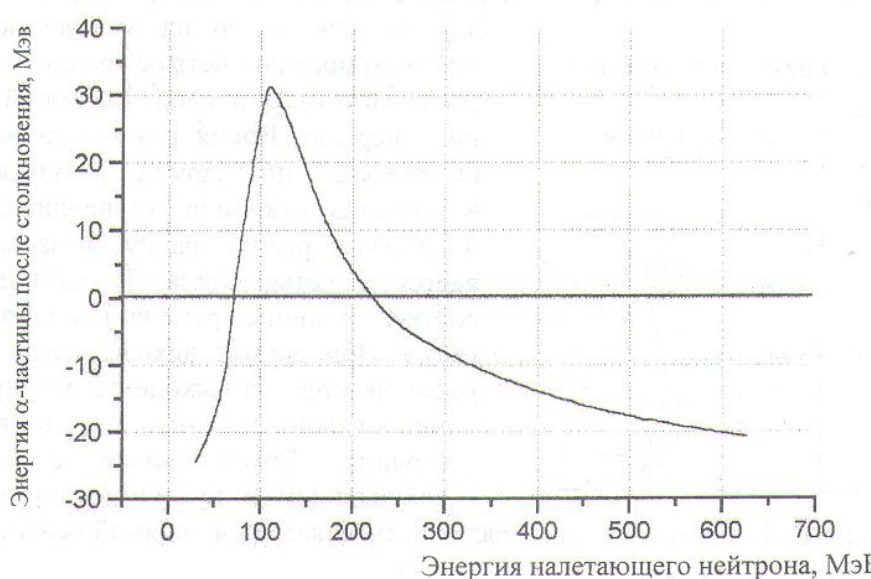


Рис. 3. Зависимость энергии, передаваемой  $\alpha$ -частице в результате лобового столкновения, от энергии налетающего нейтрона (в лабораторной системе).

происходит при энергии налетающего нуклона, равной 110 МэВ. В энергетическом диапазоне, где возможен полный развал, было определено сечение этого процесса: порядка 3 мб (рис. 4).

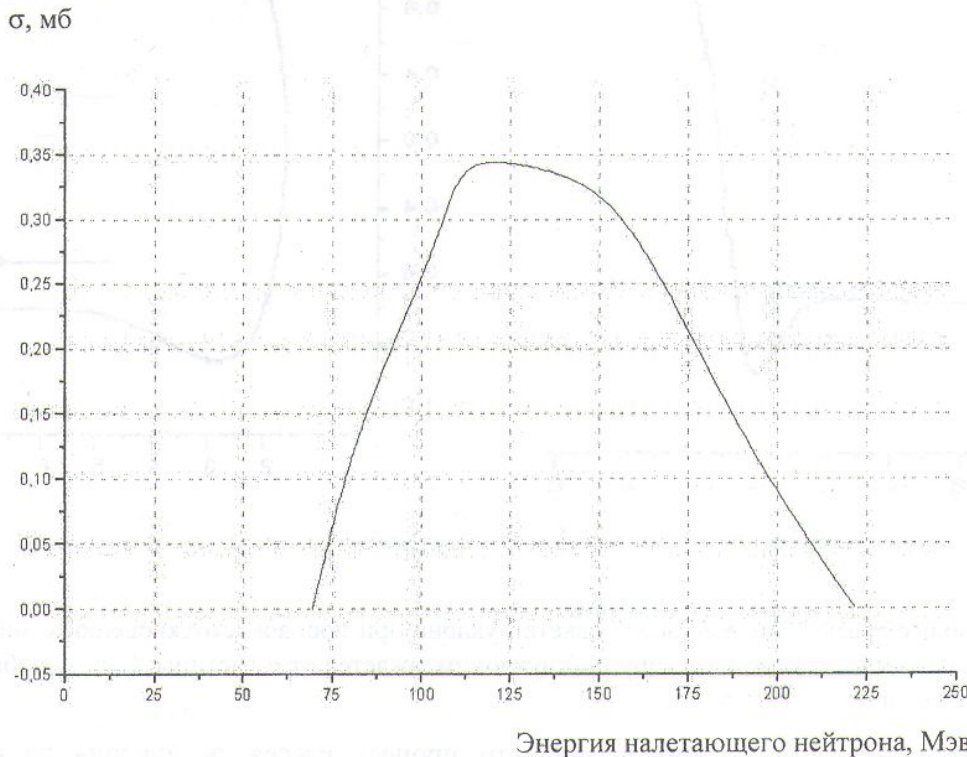


Рис. 4. Сечение полного развала  $\alpha$ -частицы от энергии налетающего нуклона (в лабораторной системе).

Механизм развала  $\alpha$ -частицы в рамках модели выглядит следующим образом: внешний нуклон попадает на некоторый момент времени в область, где существенно его взаимодействие с нуклонами  $\alpha$ -частицы, и передает им часть своей кинетической энергии. В этой области движение нуклона существенно отличается от свободного движения и траектория может быть запутанной. Если нуклон передал  $\alpha$ -частице энергию, достаточную

для ее развала, то на выходе реакции будут зарегистрированы четыре нуклона с одинаковой энергией и один нуклон, имеющий отличную от них энергию. Время развала  $\alpha$ -частицы можно определять по моменту, когда движение внутренних нуклонов устанавливается или, как показывает расчет, радиус  $\alpha$ -частицы увеличивается в четыре раза. В таблице приведены соответствующие времена для лобового столкновения. При другом исходе, когда  $\alpha$ -частица не разваливается, на выходе регистрируется только один нуклон и  $\alpha$ -частица в возбужденном состоянии. Время жизни  $\alpha$ -частицы перед столкновением с нуклоном, но перед полным

#### Времена полного развала $\alpha$ -частицы

Энергия налетающего нуклона, МэВ	Время развала, $10^{-22}$ с
69,4	0,8
62,2	0,84
104,9	0,88
110,0	0,92
129,5	0,64
156,7	0,42
186,5	0,36
221,6	0,32

развалом, составляет  $10^{-22}$  с, что на три порядка превышает время прямой реакции при данной энергии налетающей частицы.

## Выводы

Было рассмотрено неупругое рассеяние нуклона на покоящейся  $\alpha$ -частице, сопровождающееся возможным полным развалом последней. Задача решена в рамках метода молекулярных орбиталей. Волновой пакет  $\alpha$ -частицы был выбран таким, что он допускает возбуждение коллективной монопольной моды и полный развал  $\alpha$ -кластера. Другими словами, выбор пробной функции позволил учесть два канала реакции:  ${}^4\text{He}(n,2p2n)n$  и  ${}^4\text{He}(n,n){}^4\text{He}^*$ .

В результате расчета были получены следующие оценки:  
 при энергии налетающего нуклона  $69 \text{ МэВ} < E_n < 221 \text{ МэВ}$  в системе координат, где  $\alpha$ -частица покоится, она получает энергию, достаточную для ее развала на четыре нуклона;  
 при энергии налетающего нуклона  $E_n = 110 \text{ МэВ}$   $\alpha$ -частица получает наибольшую возможную энергию, что составляет  $31,5 \text{ МэВ}$  над порогом развала;

в диапазоне энергий налетающего нуклона, в котором возможен развал  $\alpha$ -частицы,  $69 \text{ МэВ} < E_n < 221 \text{ МэВ}$  оценено сечение полного развала. Оно составляет около  $0,3 \text{ мб}$ ;

время жизни образующейся в процессе столкновения  $\alpha$ -частицы перед развалом составляет  $10^{-22} \text{ с}$ , что в тысячу раз превышает время прямой реакции.

## СПИСОК ЛИТЕРАТУРЫ

1. Feldmeier H. Fermionic Molecular Dynamics // Nucl. Phys. - 1990. - Vol. A515, No. 1. - P. 147 - 172.
2. Филиппов Г.Ф. Классические уравнения дыхательной моды магических ядер // ЯФ. – 1995. - Т. 58, № 11. - С. 1963 - 1966.
3. Ono A., Horiuchi H., Maruyama T., Onishi A. Antisymmetrized version of molecular dynamics with two-nucleon collisions and its application to heavy ion reactions // Prog. Theor. Phys. - 1992. - Vol. 87, No. 5. - P. 1185 - 1206.
4. Brink D.M. The Alpha-particle model of Light Nuclei // Int. School of Physics "E. Fermi". - L., N.Y.: Acad. Press, 1965. - Course 36. - P. 247 - 277.
5. Danilin B.V., Thomson I.J., Zhukov M.V. Electromagnetic dipole response of  ${}^{11}\text{Li}$  in a solvable three-body model // Phys. Let B. - 1994. - Vol. 333, No. 4. - P. 299 - 302.
6. Kramer P., Sarancero M. Geometry of the Time-Dependent Variational Principle in Quantum Mechanics // Lecture Notes in Physics. - Vol. 140. - N.Y.: Springer-Verlag, 1981.

## ПРО ПОВНИЙ РОЗПАД АЛЬФА-ЧАСТИНКИ В РЕЗУЛЬТАТИ ЗІТКНЕННЯ З НЕЙТРОНОМ

**Г. Ф. Філіппов, О. М. Сичова, С. В. Кореннов, К. Като**

У рамках методу молекулярної динаміки розглянуто розсіювання нуклона на  $\alpha$ -частинці з врахуванням можливості повного розвалу останньої. При цьому пробну функцію вибрано так, що з'являється можливість трактувати збудження колективної монопольної моди  $\alpha$ -кластера та його розпад. Визначено залежність енергії, що передається  $\alpha$ -частинці в результаті зіткнення, від енергії та прицільного параметра налітаючої частинки. Виконано оцінку перерізу повного розпаду  $\alpha$ -кластера в результаті зіткнення з нуклоном та часу, за який відбувається ця реакція.

## TOTAL BREAK-UP OF THE ALPHA-PARTICLE AFTER THE COLLISION WITH A NUCLEON

**G. F. Filippov, A. M. Sytcheva, S. V. Korennov, K. Kato**

In the framework of molecular dynamics neutron scattering on  $\alpha$ -target was considered. Trial wavefunction was chosen in a way that allowed to treat complete break-up of  $\alpha$ -particle. Dependencies of the energy, transmitted to  $\alpha$ -particle after the collision, on the energy and impact parameter of incident particle were obtained. The total crosssection of complete disintegration of  $\alpha$ -particle and the reaction time were estimated.

Поступила в редакцию 12.03.01